Berichte des Technischen Prüfstandes Oppau

A64

Bericht Nr. 531

Wärmetechnische Untersuchungen an einer Hochdruckanlage zur katalytischen Polymerisation von olefinhaltigen Flüssiggasen

I. Beschreibung der Anlage und erste Versuchsergebnisse





I. G. Farbenindustrie Aktiengesellschaft Ludwigshafen a. Rh.

Bericht des Technischen Prüfstandes Oppau Nr. 531

därmetechnische Untersuchungen an einer Hochdruckanlage zur

katalytischen Polymerisation von olefinhaltigen Flüssiggasen

I. Beschreibung der Anlage und erste Versuchsergebnisse

Übersicht: Es werden der Aufbau und die Einrichtungen einer Anlage beschrieben, in der des wärmetechnische Verhalten bet aufalytischen Realthinnen unter Drücken bis zu 200 at und bei Temperaturen bis zu 250°C sehr genau beobachtet werden kann.

Für die Polymerisation olefinhaltier Flüssiggase werden vorläufige Versuchsergebnisse angegeben. aus einer genauen Warmebilanz der Anlage ergab sich bei unserer technischen Polymerisation von n-Butylen eine Bildungswärme von 240 kcal/kg Polymerisat, bei Propylen von 375 kcal/kg, Berücksichtigt man dagegen noch den Polymerisationsgrad, so ergibt sich für beide Stoffe übereinstimmend eine deaktionswarme von etwa 160 kcal pro Bindung. -

Weiterhin wird das Temperaturfeld im Kontaktraum aufgezeichnet und die Möglichkeiten der Warmeabfuhr an Hand von Warmeübergangsmessungen behandelt. - Eine theoretische Betrachtung befasst sich mit dem Aggregatzustand der Produktmischung aus Flüssiggas und

Benzin bei überkritischen Drücken. Der Zustand kann nur rein gasförmig oder rein flüssig sein. Eine Mischphase kann nicht auftreten, womit auch die Möglichkeit einer Benzinabscheidung entfällt.

Tafeln

Abgeschlossen am: 15.Marz 1943 Gr. Die vorliegende Ausfertigung 23 Textblätter Bearbelter: Dr. Ing. Gg. Kling 10 Bildblätter

Verteiler Nr. Empfänger Nam Empfänger

Ur. Tries 9101

tz/vom, 19, 6, 1901 weder im Ganzen noch in Einzelheiten vervielfältigt oder dritten hne unsere avedrückliche Genehmigung mitgeteilt werden.

Warmetechnische	Untersuchunge	n an einer	Hochdruck	anlage zur
kutalytischen Po		A STATE OF THE STA		

	reibung der Anlage und erste Versuchsergebnisse
3	
	Innaitsübersicht:
ing a state of the contract of	
1.) Einleitung
7.) Zweck der Versuche
	[2018년 - 1982년 - 1982년 - 1984년
-5•-	Beschreibung der Polymerisationsanlage
	Versuche und Auswertungen
	a) Allgemeines über die Versuchsführung
Longuerra	
Tales Attach	b) Lessungen und ihre auswertung
(• ز	argebnisse
	a) Bestimmung der meaktionswürmen
American de la companya de la compa	b) l'emperaturfeld im kontaktrann
1.1.	(a) \$2.13cm
14	c) Flüssigkeit sabscheidung

Wärmetechnische Untersuchungen an einer Hochdruckanlage zur

katalytischen Polymerisation von olefinhaltigen Flüssiggasen

I. Beschreibung der Anlage und erste Versuchsergebnisse

Die Versuche waren von Herrn Dr. Schütze angeregt worden, dem auch die chemische Seite der Versucheführung unterstand.

1.) Einleitung

Grosse Mengen an gasförmigen C, und C,-Kohlenwasserstoffen fallen laufend bei der Bensinsynthese nach Fischer-Tropsch, bei der Hochdruck Bydrierung, bei der Krackung von Erdöldestillaten und in den Erdgasen an. Diese unter mässigem Druck als Flüssiggase bekannten Stoffe können bis zu 55% Olefine enthalten. Durch eine Polymerisation lassen sich diese Olefine (bezw. die vorher zu Olefinen dehydrierten Paraffine), d.h. also gasförmige, niedrigmolekulare Kohlenwasserstoffe leicht zu flüssigen höhermolekularen Kohlenwasserstoffen vereinen. Dabei kann die Verarbeitung der aus Olefinen und Paraffinen bestehenden Flüssiggase direkt erfolgen, ohne diese vorher voneinander trennen zu müssen, da die Paraffine den Prozess unberührt durch laufen. Diesbezügliche Polymerisationsversuche werden seit einiger Zeit vom Ammoniakiaboratorium Oppan durchgeführt.

Das dabei benutzte Verfahren arbeitet bei Temperaturen von 150 bis 250°C und Drücken bis zu 200 at. Die Reaktion ist exotherm. Als Kontakt wird Phosphorsäurekontakt mit Holzkohle als Kontaktträger benutzt.

2.) Zweck der Versuche

Bei den Versuchen, die Herr Dr. Schütze an verschiedenen laboratoriumsmässigen und technischen Anlagen durchführte, stellte sich die Notwendigkeit heraus, einige wärmetechnische Fragen genauer zu untersuchen. Insbesondere waren die bei der Keaktion auftretenden Wärmetönungen, die Vorgänge der Wärmeübertragung und die Kondensationserscheinungen hinter den Öfen eingehender zu uhtersuchen. Da ihr Einfluss auf die Planung und Bemessung der Apparaturen und der Kosten, vor allem bei Hochdruckanlagen von sehr grossem Einfluss ist, mussten diesbezügliche Versuche an einer für wärmetechnische Untersuchungen geeigneten speziellen Apparatur durchgeführt werden.

Die Reaktionswärme lässt sich zwar grundsätzlich aus den Heizwerten der Reaktionsteilnehmer vor und nach der Reaktion nach dem Heßschen Satz berechnen. Kalorimetrische Heizwertbestimmungen können jedoch zu bestenfalls 0,5 bis 1% genau durchgeführt werden. Die errechnete Bildungswärme als Differenz zweier Heizwerte (11 000 kcal/kg) bei einfacher Polymerisation wurde demnach mit Fehlern behaftet sein, die ihrer Grassen ordnung (einige 100 kcal/kg) selbst entsprechen. In Anlehnung an frühere Arbeiten (Berichte Dr. Kling Nr. 364 und 384, Techn. Prüfstand Oppai) daher die Bildungswärme aus der exakten Wärmebilanz einer Polymerisations anlage ermittelt werden. Die Messung an solch einer Anlage hat zudem den Vorteil, direkt die Bildungswarme des beim technischen Vorgang anfallenden Polymerisates zu bestimmen, bei dem neben der einfachen gleichzeitig noch in verschiedenstem Umfange auch zeei und mehrfache Polymerisation auf tritt, Da die im Schrifttum (vor allem aus amerikanischen Quellen) bisher angegebenen werte zwischen 100 und 600 koal/kg schwankten, andererseits die Zahl bezw. die Abmessungen der Hochdrucköfen (vor allem bei grösseren Kontaktraumdurchmessern!) weitgehendst von der Grösse der Bildungswarme bestimmt wird, ist gerade deren genaue Kenntnis von besonderem Wert.

Von Interesse ist weiterhin die Verteilung der Temperatur im Kontaktraum und gegen die Rohrwand, um darin die Möglichkeiten einer günstigen Wärmeabfuhr zu überprüfen und das Temperaturfeld bei grossen Ofendurchmessern voraussehen zu können Schliesslich war auch noch die Frage zu klären, in welchem Aggregatzustande sich das Gemisch aus nicht reagierenden, umgesetzten und nicht umgesetzten Anteilen innerhalb des Ofens im Betriebszustand befindet. Vor allem ist die Kenntnis von technischem Wert, ob die Abscheidung flüssiger Polymerisatanteile bei 200 at und unter gegebenen Temperaturen möglich ist, da hierdurch der Einbau und die Grösse von Hochdruckabscheidegefässen bestimmt wird.

3.) Beschreibung der Polymerisationsanlage

Für die vorgesehenen Versuche, insbesondere für die genaue Erfassung aller Wärmemengen, konnte keine der vorhandenen Technikumsanlagen benutzt werden, sodass eine neue Hochdruckanlage, den gestellten Anforderungen entsprechend, zu erstellen war. Dies war insofern zu verantworten, als bei der Planung darauf geachtet wurde, die Anlage später auch für andere ähnliche Aufgaben einsetzen zu können. Als Aufstellungsort wurde die rechte obere Halle in Op 471 gewählt.

Die Anlage sollte für die Verarbeitung von maximal 15 1/h Flüs siggas mit ~ 30 bis 40% Olefinen erstellt werden, womit bei etwa 90% Um satz ein Polymerisatanfall bis zu 5 1/h zu erwarten war. Der Kontaktraum wurde zu 7 ltr Inhalt gewählt. Der Betriebsdruck sollte 200 at, die höchste Temperatur 250°C sein.

Die Beschreibung erfolge anhand des Schaltschemas des Blattes | Fotografische Aufnahmen von vorn sowie von hinten zeigen die illier de folgenden Se





Ausient von vern

Ansient von hinten

Das Flüssiggas wird aus den Tiansportflaschen in die beiden Vorratsbehälter von je 100 ltr Fassungsvermogen eingefüllt, die mit einem geeichten Standglas versehen sind. Beide Behälter können einen Innendruck bis zu 12 at aushalten Durch die N₂ Flasche a ist es möglich, den Druck in den Behältern stets um einige at höher zu halten als dem jeweiligen Sättigungsdruck des Flüssiggases entspricht, wodurch Verdampfung beim Saughub der Pumpe oder durch Drosselung in den Pumpenleitungen sicher vermieden wird Die Wichte der Flüssiggase kann mittels eines Aräometers in einem Hokkaruck schauglas o unter Druck abgelesen werden. Zum Auspressen des Flüssiggases aus dem Schauglas dient die N₂ Flasche b. Die Hochdruckpuspe ist eine alte

Bosch-Einspritzpumpe mit Nockenwellenantrieb von 17,5 mm Hub bei einem Kolbendurchmesser von 16,0 mm; ihre Drehzahl ist 240 U/min, die maximale Fördermenge beträgt etwa 16 1/h unter Druck.

Das auf 200 at komprimierte Flüssiggas wird in einem mit Tr; glykoldampf beheizten dreiteiligen Vorwärmer verdampft und aufgeheizt und dann über einen elektrisch geheizten und durch einen Trafo regulierbaren Überhitzer mit der gewünschten Eintrittstemperatur t, von oben in den Ofen geführt.

Das umgesetzte Gas kann einmal an der tiefsten Stelle des Ofens (rechts), das andere Mal über ein Steigrohr (links) unten abgeführt werden und in den Drosselventilen d auf den Druck_der Umgebung entspannt werden Nach Durchlaufen eines Kühlers sammelt sich das Polymerisat in den beiden Abscheidern an, während das kestgas über die Gasmin zur Fackel geführt wird. Die Temperatur des Kühlers wird durch Regelung der Kühlwasser temperatur in einem Wasservorwärmer so geregelt, dass das anfallende Polymerisat gerade Raumtemperatur hat.

Die Kühlluft für den Kontaktofen wird in einer Blende e ge messen, in einem mit Glykol behatzten Luftvorwärmer erwärmt und in dem elektrischen Luftvorheizer mittels eines Regeltrafos auf die gewunschte Kühlmanteltemperatur gebracht

Der Glykoldampf wird in einem Kessel von ca 60 ltr Inhalt er zeugt. Die Heizung erfolgt aus Sicherheitsgründen elektrisch; sie ist durch Zue bezw Abschalten der sieben Heizstäbe von je 3,0 Watt regulierbar. Die Siedetemperatur des Glykols ist etwa 280°C bei l atü Das Kondensat läuft selbständig zurück, die Entlüftung erfolgt an den kleinen Sammel behältern f Triglykol muss nach etwa 20 bis 30 Betriebstagen neu ersetzt werden, da es sich stark zersetzt. Es wurde als Heizmittel anstelle von Hochdruckdampf verwendet, der in Op.471 nicht zur Verfügung steht.

Der Aufbau des eigentlichen Kontaktofens ist in Blatt ?-ge zeichnet. Der Ofen besteht aus einem Hochdruckrohr von 65/102 mm Ø und 2400 mm Lange, das oben und unten mit einem Deckel (Blindflansch) versehen ist. Der Kontakt runt zwischen zwei Sieben, die durch Porzellanrohre in
Abstand von den Deckeln gehalten werden. Die Porzellanrohre sollen zugleich
den Wärmeausteusch an den kohrenden unterbinden

Der obere Deckel hat drei Bohrungen längs eines Durchmessers, durch die drei Thermoelemente geführt sind. Diese bestehen aus einer äusseren druckfesten Eisenhülle, in der innen ein isolierter Konstantandraht liegt; die Dichtung ist die übliche Konusdichtung. Das mittlere Element ist auf etwa 200 mm von oben in den Kontakt eingeführt, während die beiden äusseren Elemente (auf 1/2 bezw. 5/4 Radius aus der Mitte entfernt) von oben etwa 10 mm über dem Montakt liegen sollen. Bei den Vorversuchen zeigte es sich jedoch, dass der neu eingefüllte Kontakt nach dem ersten Betrieb etwa-100 mm von oben in sich zusammenschrumpfte. Es wurde daher über der vorgesehenen Kontakthöhe von 1980 mm noch 120 mm Holzkohle aufgeschüttet, sodass nach kurzer Betriebszeit die Elemente etwa 20 mm tief in der Kohleschüttung. lagen. Die Elemente waren daher frei von Strahlungsfehlern und zeigten auch keine Übertemperatur etwa durch Anliegen an einem stark umsetzenden Kontakt korn.

Der untere Deckel hat ebenfalls drei Thermoelementendurch führungen. Das mittlere Element ragt 1245 mm vom Kontaktende her in den Kontakt hinein. Die auf 1/2 bezw 3/4 Radius liegenden Elemente sind 10 mm über das Sieb geführt, welch letzteres mit einer 20 mm hohen Kohleschicht bedeckt ist. Auch hier sind also die beiden Elemente, die möglichst genau die Ein- bezw. Austrittstemperatur im Ofen anzeigen sollen, ausserhalb des Kontaktes und frei von Strahlung eingebaut. Es sei hier erwähnt, dass die Thermoelemente früher in den Rohrzu- bezw. Ableitungen des Ofens eingebaut waren. Dabei wurde festgestellt, dass die Ein- bezw. Austrittstemperaturen 20 bis 40°C je nach Durchsatz falsch zeigten, was natürlich sehr große Fehler in der Warmebilanz ergaben Von den beiden Ableitungen am unteren Deckel liegt die eine (recht) an der tiefsten Stelle des inneren Ofenraumes, die andere (links) trägt dagegen noch ein 180 mm hohes Steigrohr, das zum Schutz gegen etwa herabfallende Tropfen mit einem Kegeldach versehen 1ste

Das Hochdruckrohr ist in gleicher Länge, in der innen die Kontaktfüllung liegt, mit einem Niederdruckmantelrohr umgeben. Der Zwischen raum ist mit Glaskugeln ausgefüllt, um einerseits die Strahlung zu ver kleinern, andererseits den konvektiven Wärmeübergang zu verbessern kuf der Oberfläche des Hochdruckrohres sind fünf Thermoelemente angebracht, deren Befestigung am Hochdruckrohr von aussen her durch fünf Stutzen durche. Mantelrohr hindurch erfolgte. Die Drähte sind in den Dichtungen zwischen Deckel und Flansch der Stutzen hindurchgeführt. Die Luftzu- und abführung an den Enden des Mantelrohres erfolgt radial in 4 dohren, die durch eine Ringleitung miteinander verbunden sind. Zur Temperaturmessung ist in der Anschlussleitung ein Thermometer in einem T-Stück eingebaut, womit eine genaue Messung der Mitteltemperatur möglich ist.

Das Kühlmantelrohr ist mit einer Lage von Diatomitsteinen isoliert und weiterhin sämtliche Hohlräume und die Enden des Hochdruckrohres mit einer Stopfisolierung aus Schlackenwolle verpackt. Um das Genze liegt ein in vier Teilstücken ausgeführter Hohlzylinder von 1,5 mm Blechstärke mit etwa 20 mm Zwischenraum, in den Dampf von 1 at aus dem Niederdrucknetz geleitet wird. Dieser Dampfmantel stellt demnach einen Raum stets gleicher Umgebungstemperatur dar. Bei den ersten Vorversuchen zeigte es sich nämlich, dass die Wärmeverluste an die Umgebung über die Hälfte der gesamten Wärme bilanz ausmachen können und dass dieser Anteil durch veränderte Raumtemperatur oder Luftzug etark schwankte. Der Dampfmantel vermeidet diese Nachteile und verringert zugleich das Temperaturgefälle nach aussen um etwa die Hälfte Allein durch diese Anordnung war es möglich, eine genaue Messung der seit lichen Wärmeverluste durchzuführen.

Da die spezifische Wärme - von Kohlenwasserstoffmischungen bei 200 at völlig unbekannt ist, sollte diese Grösse gleichzeitig während der Polymerisationsversuche bestimmt werden. Hierzu wird ein Teilstrow des Produktes aus dem linken Ablassventil am Ofenaustritt entnommen und zu einem Strömungskalorimeter geführt. Dieses gestattet in einfacher Weise die spezifischer Wärme aus der durchströmenden Menge und der durch eine elektrische Heizung bewirkten Temperaturerhöhung zu bestimmten. Infolge ver schiedenster Schwierigkeiten meist praktischer Art konnten diese Kalorimetermessungen bei vorliegenden Vorversuchen allerdings noch nicht einward frei durchgeführt werden.

4.) Versuche und Auswertungen

a) Allgemeines über die Versuchsführung

Für einen Versuch wurde die Anlage gewähnlich um 400 Uhrangestellt. Der Elektrokessel gab nach ca l'Stunde Dampf ab, der Ofen mit seiner Iso lierung war ca um 6h auf der gewünschten Anspringtemperatur. Dann wurde die Flüssiggaspumpe eingeschaltet und die beginnende Reaktion durch Regulierung der Flüssiggaseintrittstemperaur und der Luftkühlung in den jeweils gewünschten Bereich gelenkt. Im Laufe des Vormittages stellte sich dann sowohl chemisch wie wärmetechnisch bis zum Mittag der Beharrungszustand ein, erkenntlich an gleichbleibendem Umsatz und gleichbleibenden Tempera turen aller Mesatellen. Nach einem mehrstündigen gleichmässigen Verlauf der Ablesungen wurden nachmittags die für die Auswertung massgebenden Mengenmessungen, die thermoelektrischen Temperaturmessungen mittels Kompensator durchgeführt und die Gas- und Benzinanalysen entnommen. In Blatt 3 ist der Temperaturverlauf einiger wichtiger Messtellen aufgetragen, wie dies auch während der Versuchs selbst erfolgte. Der schleichende Gang der Temperaturen ist durch die grosse Wärmekapazität der Isolier- und Eisenmassen des Ofens bedingt und zeigt, dass ausserordentliche Sorgfalt auf höchste Temperaturkonstans der einströmenden Luft und der Plüssiggase zu verwenden ist.

Für die Einstellung der Heaktionstemperaturen waren folgende Gesichtspunkte massgebend:

- 1) Die Temperatur des eintretenden Flüssiggases muss natürlich über der Anspringtemperatur des Kontaktes liegen.
- 2) Sie soll auch über der kritischen Temperatur des Flüssiggases liegen, um keine Hachverdampfung im Ofen zu erhalten.
- Sie soll hoch genug sein, um einen genügenden Umsatz und damit messbare Wärmemengen zu erhalten.
- 4) Sie soll so niedrig gehalten werden, dass die höchsten Kontakt temperaturen, auch bei stärketer Mantelkühlung, nicht über 240 bis 260° steigen, da sonst der Kontakt leidet besw. das Poly mersiat zu hoch polymerisiert.
- 5) Die Ofenaustrittstemperatur soll so hoch sein, dass alle Produkte anteile gasförmig bleiben und keine Kondensationswärme die Auswertung erschwert.

- 6) Sofern die spesifische Warme of der Ofengase gemessen werden kann, können Ein- und Austrittstemperaturen verschieden sein, letztere wegen 5) möglichst hoch.
- 7) Sofern & nicht genau messbar ist, sollen Ein- und Austrittstemperatur möglichst gleich sein, um die ungenau berechenbare molare Wärmeabfuhr der Ofengase klein zu halten.
- 8) Die Kühlluftführung erfolgt bei 6) zweckmässig von oben nach unten und mit etwa gleicher Eintrittstemperatur wie das Flüssiggas, bei 7) dagegen ist die Einstellung nur möglich bei der Luftführung von unten nach oben.

Fenngleich die Erfüllung dieser Punkte stets erstrebt wurde, ist doch ihre Durchführung meist durch Betriebsstörungen, begrensten Flüssigges, vorrat und die langsame Einspielung der Beharrung oft nicht möglich gewesen.

b) Messungen und ihre Auswertung

Die Auswertung der Versuche soll anhand der in Tafel 1 angegebenen Zusammenstellung erklärt werden, wobei neben den Rechnungsgang und den Zeichenerklärungen sehr Position auch Mitteilungen über Messgenauigkeiten, vernachlässigte, geschätzte oder korrigierte Grössen gegeben werden. Die Zeichen sind auch in Blatt 1 an den jeweiligen Messtellen angeschrieben.

- Zu Pos. 34 Die Zeit bedeutet das Ende der letsten Temperaturablesung. Die Werte der Tabelle sind nach bereits zwei bis dreistündiger Beharrung aus den Versuchsaufschreibungen enthommen.
- Zu 4: Der am Ofenausgang gemessene Druck ist für den ganzen Kontektraum als gleich anzusehen, da der Druckabfall im Ofen sehr gering 1st.
- Zu 5: Es wurde die Zeit gestoppt, in der sich der Plüssiggasspiegel um swei Teilstriche, dal. 1 ltr, senkte. Infolge der ungenauen Teilung (2 Teilstriche = 19 mm) ist diese Messung wenig suverlässig.
- Zu 61 Das Arkometer hatte auf 30 mm Länge den Wichtebereich von 0,5 bis 0,7 kg/l, was mit Pos.5 zu weiterer Ungenauigkeit führt. Auch war die Ablesung nicht sehr bequen; was zu Ablesefehlern führte.
- Zu 71 Der Einsatz ergibt sich sui G1 V11. ff1 (s.5 und 6)
- Zu 8: Die Abgasmenge V konnte sehr genau an einer neuen geeichten Eleter Gasuhr ermittelt werden, es wurde die Litermenge für 6 Minuten gestoppt

Zu 98

13,55 · (b+p_A) · M 848 · (273,16+t.)

b - Barometerstand p. = Druck vor Gasubr

t - Temperatur des Abgases

mm QS [== qs] -[°c]

Das Molekulargewicht M errechnet sich als & r. . M4 der i-Komponenten der Stockanalyse (s. Tafel 2).

1. V. Y.

Zu 11: Das nach dem Kühler abgeschiedene Rohpolymerisat wird in com in einem Messzylinder nach einer bestimmten Minutenzahl (6 bis 20 min je nach Anfall) genau gemessen.

Zu 128 Die Wichtemessung kann genau mit einem Araometer erfolgen. Die Temperatur des Rohpolymerisates wird mittels der Kühlwassertempera tur auf Rauntemperatur gehalten, damit aus den entnommenen Proben, die in verschlossenen Gasflaschen aufbewahrt werden, kein Gas ent-G . To F

Zu 148 siehe Pos.8 bis 10

Zu 15: siehe Posell bis 15

G - GA+Gp+Gkg+Gk

Zu 17: Undichtheiten an den Flussiggasvorheizern und am oberen Ofendeckel ergeben den nicht messbaren

Verlust = Gen G

Am unteren Ofendeckel konnten bei mehreren Früfungen keine undichten Stellen festgestellt werden. Auch in den Abgasniederdruckleitungen kommen Verluste nicht mehr in Frage, sodass G sehr genau aus den vier Mengenmessungen nach dem Ofen festliegt.

Zu 18 und 19: Das Rohpolymerisat wird stabilisiert und bei 13°C der gas förmige und der flüssige Anteil bestimmt. Aus dem Gewichtsverhältnis des stabilisierten Benzins der Probe zum Einsatz der Probe (100-g) errechnet-sich:

Gpst - (stabilisierter Anteil) Probe · Gp

Zu 20, 21 und 22; Aus der Stockanalyse werden die Gewichtsprozente Cs-Paraffine und der höheren Paraffine sowie der Cs-Olefine und der höheren Olefine errechnet, womit sich ergibt z.B. für das GAC . GA, entsprechend für Gkg C and Gri C

Zu 23s Als Polymerisat wird die Summe aus stabilisiertem Polymerisat und aus den gasförmigen Anteilen mit 5 und mehr Kohlenstoffstomen bezeichnet, abzüglich des Anteiles, der schon im Flüssiggas enthalten

GC5 - GPst+GK Pst+GAC5+GESC5-Gf1C5

Zu 24: Die Luftmenge ist sehr genau aus den Druck- und Temperaturablesungen an der geeichten Messblende in bekannter Weise zu errechnen.

Zu 25-und 26: Die Thermometer für Luftein- und eustritt sind in 1/5°C ge teilt, sodass sehr genaue Ablesungen möglich sind. Die Messfehler durch Ableitung oder Strahlung durften bei beiden Thermometern infolge des genau gleichartigen Einbaues dieselben sein, sodass die für Pres.29 massgebende Differenz sehr genau ist.

Zu 278

Zu 28s G wird für t den "Vusti" Tabellen entnommen.

Q ~ GL. PL. (tast) Zu 298

Zu 30g Die Mantelluft nimmt die radial vom Hochdruckrohr abgegebene Reastione warme auf. Andererseits gibt sie selbet Warme durch die aussere Isolierschicht an den Bampfmantel ab. Diese Warmeabgabe ist schängig vom Temperaturgefälle

B+t Dampf

Es wurde daher stets nach einem Polymerisationsversuch am folgenden Tag nochmals der Ofen erwärmt (ohne Flüssiggas durchzupumpen!) und die Lufttemperaturen sowie der Dampfdruck so eingestellt, dass im Be harrungszustande dasselbe Temperaturgefälle erreicht wurde. In gleicher Weise, wie unter Pos.24 bis 29 wurden damit die Mantelver luste Q ermittelt. Die Thermometer bleiben von Polymerisationsver-such her noch eingebaut, sodass sich eventuelle Einbaufehler aus gle ichen.

eine Kompensationsmessung der geeichten Thermoelemente ermittelt.

Aus den Messtellen im halben und im 3/4 Radius des Kontaktrohres sowie aus der bekannten Wandtemperatur lässt sich der Temperaturverlauf einseichnen, wie es z.B. in Blatt 4 dargestellt ist. Durch Ausplanimetrieren der Fläche werden die mittleren Ein- und Austrittstemperaturen t, und to ermittelt.

Zu 33. 34 und 35 he direkten kalorimetrischen Messungen der spesifischen Wärme von Bintritts- bezw. Austrittsprodukt sind zwar bei einigen der vorliegenden Versuche durchgeführt worden, doch ist die Messgenauigkeit noch nicht genügend verfeinert gewesen, um zuverlässige Werte zu erhalten. Es wurde daher vorerst allgemein der Wert pe- m=0,8 kcal/kg c eingesetzt, vorbehaltlich einer späteren Korrektur.

Zu 361 Q = 0 .4 = (t2-t1)

Zu 372 Die Energiebilans der Anlage setzt sich wie folgt zusammens-Bei einer exothermen Beaktion wird im allgemeinen die frei werdende Bildungswärme (Q) teils zu einer Aufheisung des Produktes (Q_{KW}) führen, teils aber auch an die Kühlluft seitlich abgegeben werden (Q_K). Zusätzlich der Wärmeverluste (Q_V) gilt damit:

Dabei ist zu beachten, dass zu starke Kühlung fühlbare Wärme aus dem Produkt entnehmen kann (negatives Vorzeichen von Qui), zu hohe Mantellufttemperatur sogar das Produkt zusätzlich aufheisen wird. Die Produkterwärmung als Mass für die Beaktion zu betrachten, ist demnach völlig falsch. Die Verluste von Deckel und Boden bleiben bei der Anlage unberücksichtigt, einmal, da ihr Betrag unter 10 kcal/h liegt, andermal da sie zumeist aus der fühlbaren Wärme des Produktes vor oder nach den Temperaturmesstellen ent stammen.

Zu 384 Die Polymerisationswärme wird definiert zu

- Q - Q +Q +Q +Q .

P - G05

im Gegensatz zu der bisher allgemein üblichen Beziehung auf das Bohpolymerisat, wo der bei wechselnder Kühlmassertemperatur stark verschiedene Anteil gelöster Gase zu beträchtlichen Differenzen führte.

Zu 39. 40 und 41: Bie Bestimmung der Olefine erfolgte durch die Brom analyse. Der Umsats errechnet sich dann aus der folgenden Formel:

0 = 10000.0_{£1}-0₄

Zu 42; Es wird die Zeitdauer in Stunden angegeben, während der der Kontakt (mit Unberbrechungen) gearbeitet hat.

5.) Ergebnisse

Die bisherigen Versuche, die in der Tafel 1 zusammengestellt eind, waren eigentlich als Vorversuche zur Erprobung der Anlage und zur Schulung des Personals gedacht. Wenn such eine Wiederholung vorgesehen ist, so sollen doch die ersten Ergebnisse hier mitgeteilt werden, da sie bereits eine weit gehende Klärung der gestellten Aufgaben darstellen.

Untersucht wurden bisher die folgenden drei Gasarten, deren gemane Zusammensetzungen nach der Stockanalyse vom gasanalytischen Labor in Tafel 2 mitgeteilt sind:

- (A) Gasol (mit etwa 33% Butylen und 5% Propylen)

 (B) n Butylen Butan (mit etwa 30% Butylen)
- (r) Propylen Propan (mit etwa 25% Propylen)

a) Bestimmung der Reaktionswärmen

Uber Gasol liegen die beiden Messungen vom 4. und 11.8.1942 vor, von denen jeweils zwei Ablesungen im Beharrungszustande ausgewertet sind. Der Durchsats betrug etwa 8,5 kg/h Flüssiggas, woraus etwa 3,4 kg/h reines Polymerisat gebildet wurden. Die Temperaturhaltung war bei beiden Versuchen fast die gleiche mit etwa 200°C Eintrittstemperatur in den Ofen, ~ 270°C höchste Kontakttemperaturen und ~ 195°C Austrittstemperatur aus dem Ofen. Die gesamte Heaktionswärme, zusätzlich eines Teiles der im Gas enthaltenen Wärme werden an die Mantelluft abgegeben, die hier im Gleichstrom geführt wurde. Die Wärmebilans ergibt Werte für die Polymerisationswärme des Gasol von P ~ 200 bis 228 kcal/kg. Der Mittelwert beträgt für

Gasols P = 214 kcal/kg.

Die Versuche mit n. Butylen wurden am 8. und 15.1.1943 mit einem Durchsats von etwa 8,1 kg/h gefahren, wobei 2,3 bis 2,8 kg/h reines Poly merisat anfielen. Die Kontakttemperaturen lagen beim ersten Versuch zwischen 165 bis ~ 220°C, beim zweiten Versuch zwischen 179 bis ~230°C. Bei beiden Versuchen wurde ein Teil (1/6) der Reaktionswärme vom Gas aufgenommen, der Hauptanteil wieder seitlich an die Kühlluft und an den Bampfmantel (je etwa zur Hälfte) abgegeben. Als Polymerisationswärme wurden Werte ermittelt, die

Auf Grund des vorstehend genannten Materials fand am 3.3.194 eine Besprechung im Ammoniaklabor Oppau unter Beteiligung der Herren Prof. Dr. Wilke, Dr. Wietzel, Dr. Hegelmann, Dr. Schütze, Dr. Haubach und Dr. Kling statt. Dabei stand die Grösse der Polymerisationswärme zur Debatte.

Untersuchungen von Herrn Dr. Schütze ergaben, dass das Polymerisat der drei Plüsaiggase wesentliche Unterschiede in den Anteilen von einfa der oder mehrfacher Polymerisation aufweist. Die Ergebnisse aus Durchschnitts proben zeigten etwa folgende Zusammensetzung in Gew. 1:

		Plüesiggas:	Butylen	Propylen	Gasol	
1	ma l	polymerisiert	65\$	10%	58%	
2	mal	polymerisiert	25*	55*	34%	
3	mal	polymerialert	10%	20%	4%)	evtl auch
4	mal	polymerisiert		15%	4%	9% drei mal
F	lildu	ngswärme kcal/kg	240	-375	214	

Herr Dr. Schütze wies darauf hin, dass die Höhe der Polymeriaations wärme wahrscheinlich vom Polymerisationsgrad abhängen müsste.

An Hand dieser Zusammenstellung und der folgenden Bechnung gab Herr Dr. Bietzel überraschend die Erklärung, dass die bei jeder Polymer aut ins stufe frei werdende Beaktionsenergie sowohl für Butylen wie für Propylan den selben Betrag x haben muss. Für Butylen errechnet sich damits

$$0,65^{\circ}1x+0,25^{\circ}2x+0,1^{\circ}3x = 240$$

 $x = 167 \text{ kcsl/kg}$

und für Propylen

Daraus wäre zu folgern, dass bei allen Polymerisationen, die in gleich Art sich verbinden, eine wärmetönung von etwa 160 kcal für jede Poly merisationsstufe frei wird. Wie Herr Dr. Wietzel vorschlug, müsste die vermutete Gesetzmässigkeit noch an anderen Stoffen, z.B. Athylen oder Isobutylen, geprüft und die Polymerisationswärme noch genauer bestimmt werden, zumal deren Kenntnis für eine weitaus grössere Zahl chemischer Prozesse von Bedeutung ist.

Es hat demnach den Anschein, als ob die bisherigen weit ausein andergehenden Angaben der Polymerisationswärme sich in idealer Weise klaren lassen:

- 1.) durch genau Definierung des Bezugswertes als reines Polymerisat ohne Gasanteile.
- 2.) durch exaktere Angabe der spezifischen Barme und
- 3.) durch Berücksichtigung des Polymerisationsgrades

Da nun bereits die Anlase vorhanden und auch das Personal auf die Messungen eingeschult ist, wurde allseits angeregt, die Arbeiten weiter uffähren.

b) Temperaturfeld im Kontaktraum

beiden Elementen r. O vom oberen und unteren Deckel aus moglich. Die Aubringung waiterer Elemente bätte die Strömung im Kontakt zu sehr hee nichtigung waiterer Elemente bätte die Strömung im Kontakt zu sehr hee nicht die Wege langs gerader Linien, die also ander Rohrwand und an den Elementenbulsen entlang, bevorzugt, womit der Grundestz jeder Messung, das zu messende Feld durch das Messorgan möglichst wenig zu stören, weitgehend verletzt wäre Dagegen ermöglicht die Kenntnis den Temperaturverlaufes längs der Rohrwand indirekt auf die Kontakttemperaturen rückzuschließen. Nimmt man bierzu die Ein und Austrittstemperaturen von Produkt und Luft, so lässt sich ziemlich zuverlassig das gesamte Temperaturfeld aufzeichnen Dabei müssen die nach unten konkaven oder konvexen Krümmungen der Kurven, ihre Wendepunkte, Maxima oder horizontalen Verlaufe, sowie ihre gegenseltige absolute Lage nach der Vorstellung der Gesetze der Wärmeleitung und des Wärmeüberganges, der Wärmebilanz und der Reaktions kinetik zueinander im ganz bestimmten wechselseitigen Zusammenhang stenan

Es sollen zwei Versuche herausgegriffen werden und zwar die Poly merisation von Gasol vom 11.8.42, die in Blatt 4 dargestellt ist, und die Polymerisation von n. Butylen vom 8.1.43, die in Blatt 5 dargestellt ist. Die Kontaktzeit war in beiden Pällen fast gleich, dagegen war im ersten Palle die Anfangskonzentration der Olefine um 17% höher als im zweiten Pall, auch der Durchsats war im ersten Palle um 23% höher als im zweiten Palle. Ein wesentlicher Unterschied besteht noch darin, dass im ersten Pall im Gegen ström, im zweiten im Gasichstrom gefahren wurde.

Die Polymerisation von Gasol (Blatt 4) ergibt einen steilen
Temperaturanstieg, der nach 1/2 m Rohrlänge sein Maximum erreicht. Die
Reaktion muss hier im wesentlichen beendet sein. Infolge der kurzen Wärme
austauschfläche teilt sich die frei werdende Wärme überwiegend dem Gas
selbst mit, was zu der Temperaturspitze von etwa 270°C führt. Erst mit dem
weiteren Strömen entlang der Rohrfläche tritt der Wärmeaustausch in Er
scheinung, was zum allmählichen Angleich von Produkt- und Wandtemperatur
führt. Nachteilig bei dieser Fahrweise (bei der Ein- und Austrittstempera
tur gleich sein sollten!) ist die zusätzliche Aufheizung am Beginn der
Reaktionszone bezw. anschliessend die schlechte Kühlung durch die vorgewärmte
Luft. Die Temperaturmessung am Eintritt des Flüssiggases in den Kontakt
ermöglicht die Aufzeichnung des radialen Temperaturfeldes in der Neben
figur, aus dem die mittlere Eintrittstemperatur durch Planimetrieren er
mittelt wird.

Günstiger ist das Bild beim n Butylen (Blatt 5), wo der Tempere turanstieg wesentlich flacher verläuft. Neben der geringeren Anfangskonzen tration ist dies vor allem auf die bessere Kühlung bei Gleichstrom zurück zuführen. Das Temperaturmaximum von ~ 220°C wird erst nach ca 1 a Kontakt länge erreicht.

Eine kurze Betrachtung sei hier noch hinsichtlich des Wärmeüber ganges angestellt. Die Wärmeübergangezahlen im Hochdruckrohr und im Kühlmantel lassen sich aus den Versuchen mit Heaktion nicht ermitteln. Sie sollen später noch auf andere Art für die vorliegende Anlage genau bestimmt-

werden. Vorerst sei ihre Grosse einmal grob geschätzt. Auf der beites es ist bei der meist üblichen Luftmenge von 100 kg/b and mit 10 me Glaskugelp eine Reynolds'sche Zahl von etwa 140 000 gegeben. Nach ähnlichen Versuchen des Verfassers ist hierfür eine Sarmeubergangszahl von etwa 3 000 kcal/m² c ansunehmen. Das Hochdruckrohr aus N 8 Material nat eine Warmeleitzahl von ~30 kcal/m² c bei 180°C. Auf der Produktseite sei mit einem Durchmatz von 8,5 kg/h Gasol gerechnet. Die dynamische Zähligkeit bei 200 at und 220°C mei im Mittel zu ? - 3.10 kgeec/m² geschätzt, die Korngrosse des Kontaktes se zu ? mm eingesetzt, womit ein ne - 12 000 errechnet wird. Nach abnitonen Veisuchen des Verfassers an Hydrierwontskt aus Kohle kann 2 zu 500 kcal/m² c geschätzt werden. Der gesamte Warmedmuchgung wird damit

$$\frac{1}{K} = \frac{1}{3000} + \frac{0.065_{20\ln}(102_{65})}{100} \cdot \frac{1}{500 \cdot (\frac{102}{65})}$$

$$\frac{1}{K} = 0,000555 + 0,000489 + 0,001271 - 0,002095$$

raum liegt, wahrend Robiwandung und Kuhlmantel eine genügend gibe bertraguig gewährleisten. Dementsprechend lieger auch Luft und Wandtempere tie en beitrag sehr weit auseinander, wahrend im Kontakt die nieen Ubertampere

Von Blatt 6 perspektivisch migge minet, wobe der Gasolversch von 11 d.42.

1755 mit Gegenstromkuhlung als Grundiage diente. Der Tiefenmasstad ist date verdoppelt, die Achsen um 30 gegen die Horfzontale geneigt; der seintrechte Masstad gibt die Temperaturnone an Das nockerartige Temperaturie der stit de Maximum stetle spitze Parabelu auf Die vorliegenden Arbeitsbedingungen für die chemische Beaktion sind demnach sehr ungünstig, da sie tei weise be die hohen Hockertemperaturen, teilweise, bei den niederen fandtemperaturen in erie muss. Das Bild zeigt such, dass dur ein kleiner Teil des Kuntation arbeiter zur Umsetzung dient, der grossie Teil dagegen als Warmeanstanspher arbeiter zur

Ein günstigeres Bild wäre zu erwarten, wenn der Durchsatz ver grössert wird, da dasit der Wärmeübergang stark ansteigt und infolge der kürzeren Verweilzeit die Reaktionszone mehr längs des Kontaktraumes ge streckt wird.

Bei Vergrößserung des Ofendurchmessers ist allerdings kaum noch zu erwarten, eine seitliche Wärmeabfuhr durchführen zu können, ohne hohe Spitzentemperaturen im Kontaktkern zu bekommen. Als wirksamstes Mittel da gegen ist wohl allein die Verringerung der Anfangskonzentration anzuwenden, soweit bis das Gas selbst die gesante Wärme als molare Wärme abzuführen vermag. Dabei ist aber die Verwendung besonderer Zwischenkühler zur Abgabe dieser Wärme zwischen den Öfen notwendig. Es ist beabsichtigt, diese Überlegungen durch einige wenige Versuche auch zahlanmässig soweit zu unter bauen, dass eine allgemeine Anwendung für die gegebene Raktion möglich wird.

c) Flüssigkeitsabscheidung

Uber den Aggregatzustand des Produktes am Ofenaustritt bei 200 st. und der jeweiligen Austrittstemperatur herrscht noch Unklarheit. Die An - wendung des Daltonschen Gesetzes ist zwar ein Hilfsmittel, um sich eine ungefähre Vorstellung zu verschaffen. Die Abweichungen vom Gasgesetz sind je doch im vorliegenden Palle derart gross, dass eine zahlenmässige Auswertung nach Balton sehr fragwürdig bleiben muss.

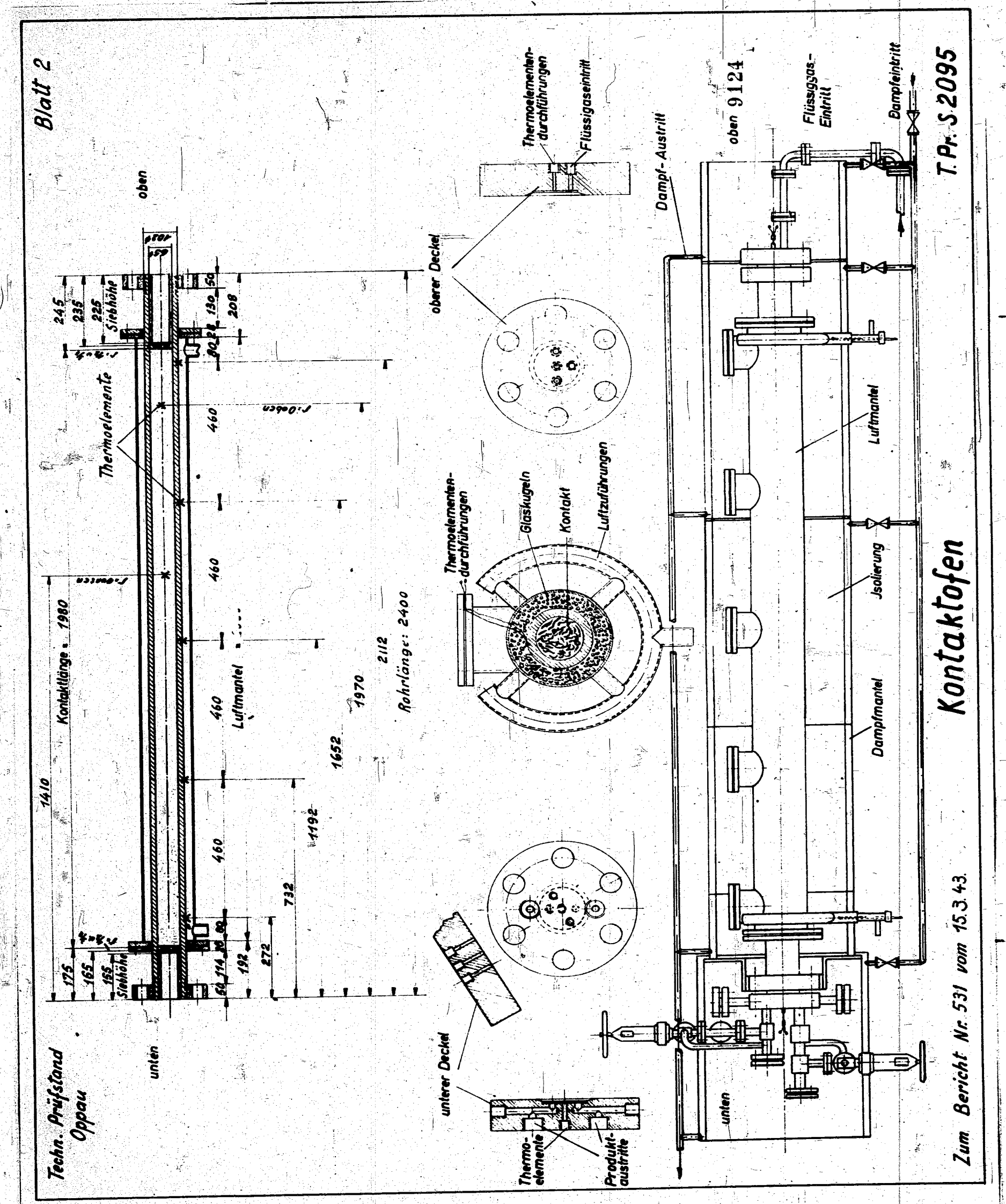
Einige Überlegungen mögen nun dazu dienen, die Vorstellung über diese Vorgänge zu erleichtern. Einfach ist der Fall eines einzelnen Stoffes, wie er in Blatt 7 z.B. anhand von n-Oktan dargestellt sei. Es ist die Dampf spannungskurve bis zum kritischen Punkt gezeichnet und das Gebiet flüssigen und gasförmigen Zustandes schraffiert. Eine Druckerhöhung längs einer der gestrichelten Linien würde bei der unterknitischen Temperatur t. im Punkt zur Verflüssigung des ganzen Stoffes führen, während bei der überkritischen Temperatur t. der Stoff im Bereich technischer Drücke immer gasförmig bleib: Pür ein Gemisch von n-Butan - n-Heptan liegen Messungen von W.B.Kay vor. die teilweise im rechten Bild von Blatt 7 dargestellt sind. Hier sei ein Ge

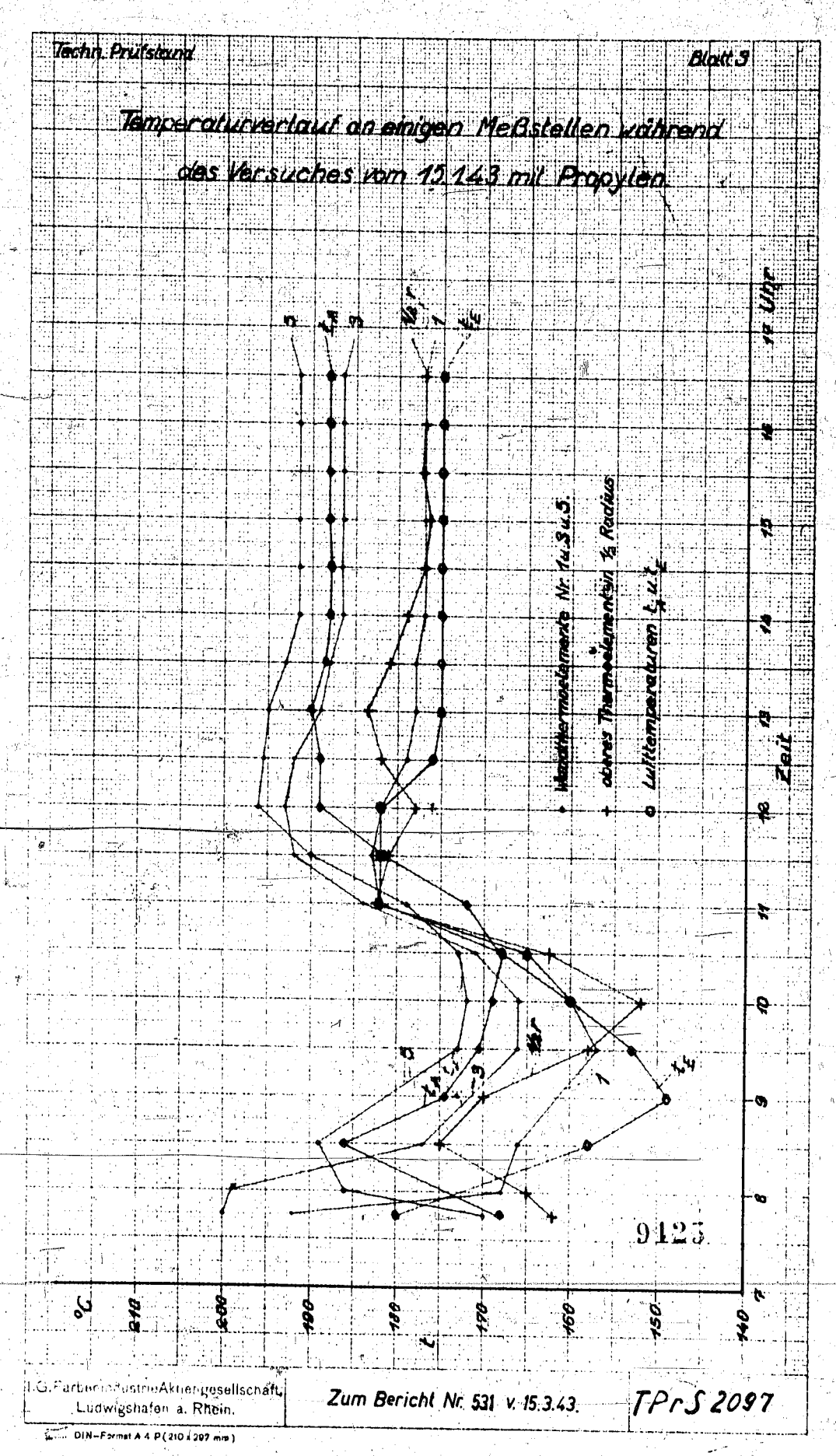
misch von 70% Butan und 30% Heptan betrachtet, wie es auch ungefähr in einer ähnlichen Zusammensetzung bei der Polymerisation von Gasol zu trifft. Die kritische Temperatur der Mischung ist durch den einfachen Kreis. Eine Verflüssigung aus diesem Gemisch kann also auf keinen Fall durchgeführt werden, wenn die Temperatur über seinem kritischen Punkt liegt, auch dann nicht, wenn der kritische Punkt des reinen Heptans noch unterschritten ist. Betrachtet man nun eine Drucksteigerung bei der Temperatur tz. so werden erst mit Erreichen des Punktes A die ersten Heptantropfen ausfallen können trotzdem hier schon längst der Portialdruck des reinen Heptans übenschritten ist. Beim Punkt B ist das ganze Gemisch restlos verflüssigt. Zwischen beiden Punkten A und B liegen die verschiedenen Zustände einer Teilver flüssigung.

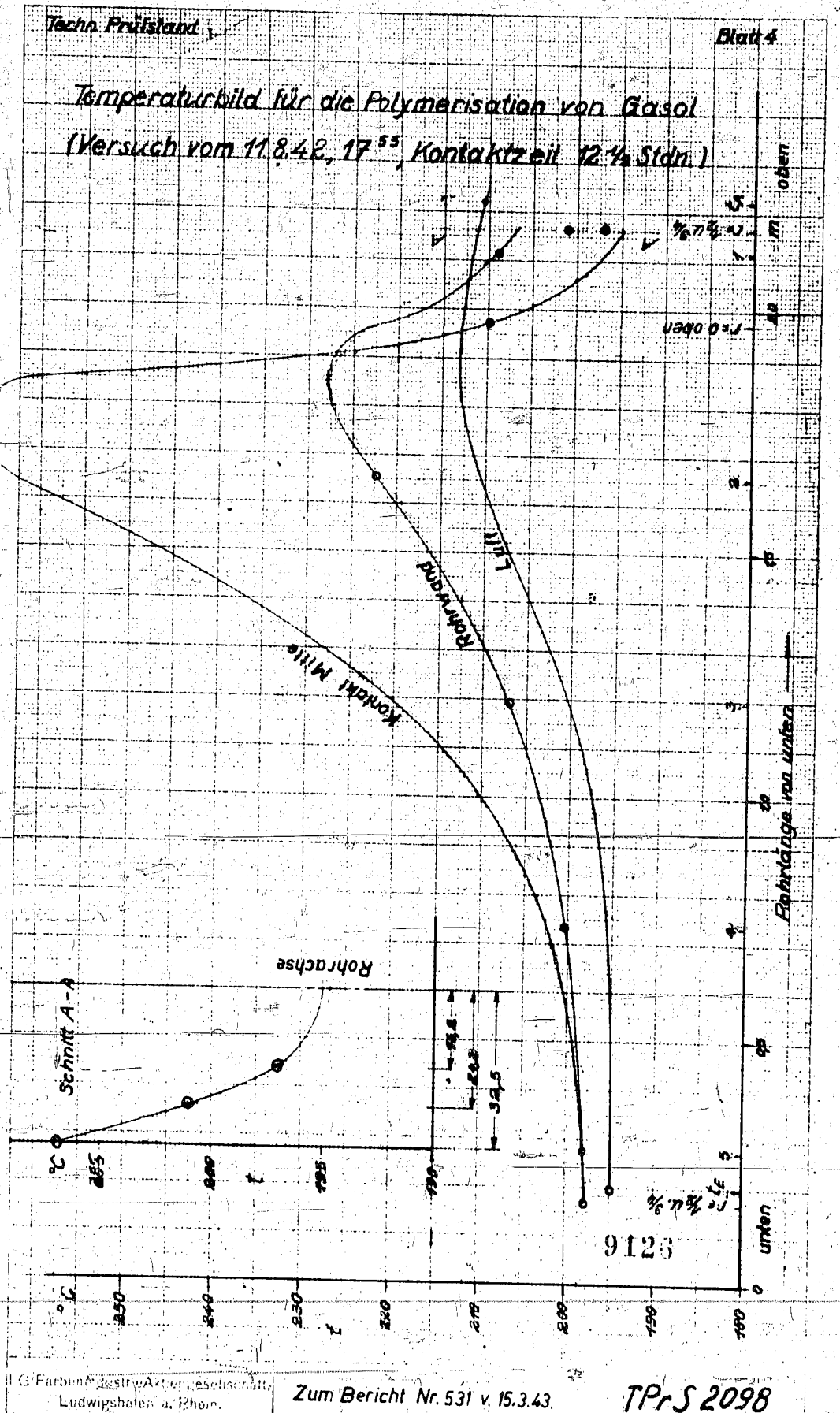
Unser Betriebszustand von n - 200 at bei der Polymerisation liegt also stets weit über der Linie der kritischen Drücke. Es sind daher nur swei Möglichkeiten des Aggregatzustandes in einem geschlossenen Gefäss möglich, entweder der reine gasförmige Zustand (t > tkritische) oder der reine flüssige Zustand (t < tkritisch). Matarlich sind bei einem Vielstoffgemisch von Plüssiggasen und verschiedenen Polymerisaten die Verhältnisse noch wesentlich komplisierter. Jedoch lässt sich auch hier das Bild eines Zweistoffgemisches verwenden unter der Vorstellung, dass die begrenzenden Dampf drucklinien der reinen Stoffe sich zu Kurvenbändern verbreitern, da ja meist ausgesprochen hohe Anteile nur niedrigsiedender und nur hochsiedender Stoffe vorhanden sind.

Über den Rahmen eines anschaulichen Bildes hinaus lässt sich das eben Gesagte leider nicht verwenden. Praktisch fehlt die Kenntnis der kritischen Temperatur, ohne die der Aggregatzustand im Ofen nicht vorausge sagt werden kann. Zur Zeit ist zwar vom Verfasser ein Messverfahren in Eutwicklung, das neben der Aufnahme der Dampfdruckkurven auch eine vieuelle Beobachtung des Aggregatzustandes des Versuchsstoffes gestattet. Jedoch liegen damit noch keine Beobachtungsergebnisse vor.

Bie Frage nach der Zweckmässigkeit von Abscheidern ist dagegen siemlich klar. Nach den in Bild 7 dargelegten Tatsachen sind sie für ein Zweistoffgemisch über der Linie der kritischen Drucke jedenfalls swecklos. Bei 200 at ist der Stoff entweder gans flüssig oder gesförmig. Der Binban von Hochdruckabscheidern wäre hier sinnlos. Eine Abscheidung von Flüssigkeit unter Anreicherung einer Komponente ist nur bei unterkritischen Brücken und unterkritischen Temperaturen möglich.

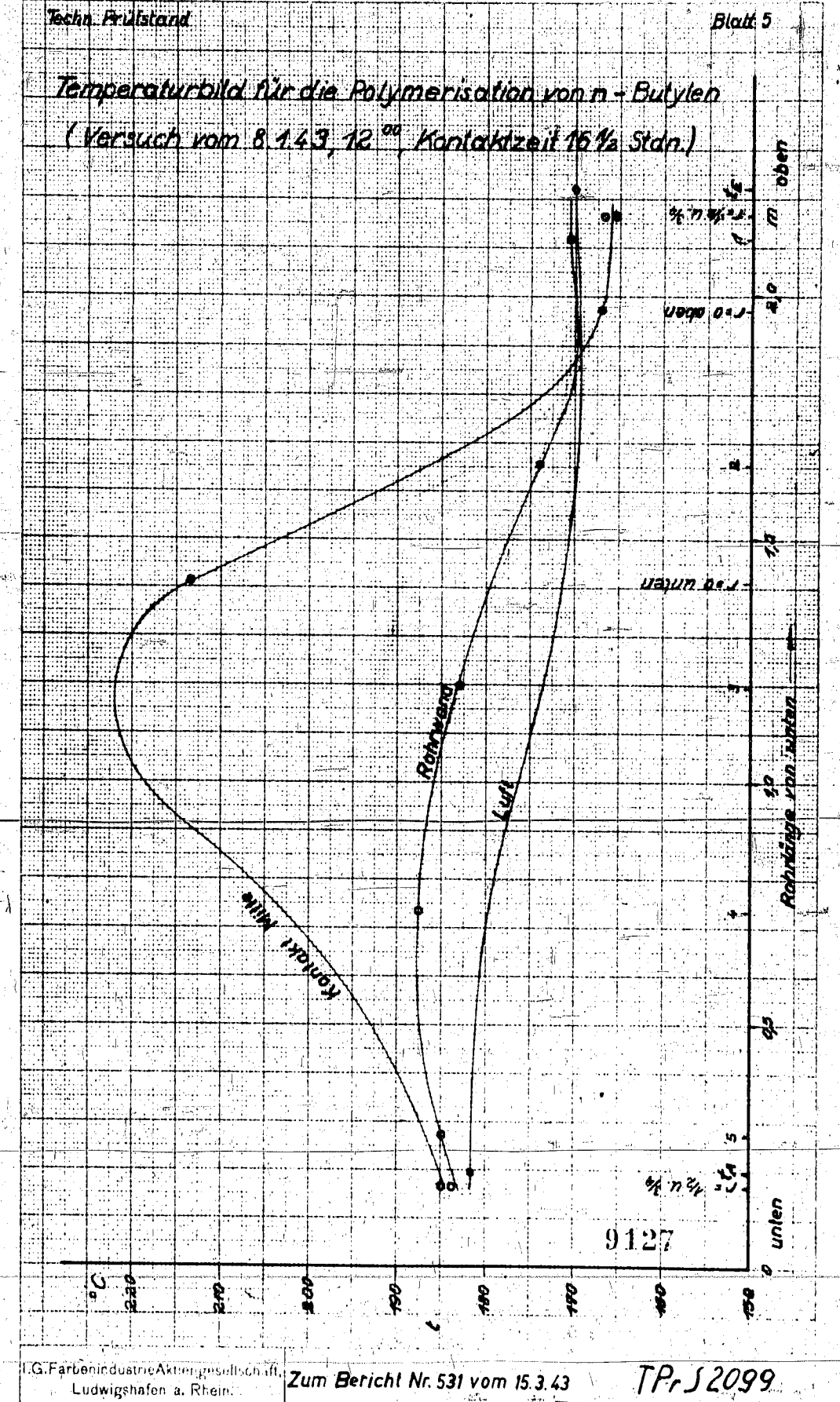






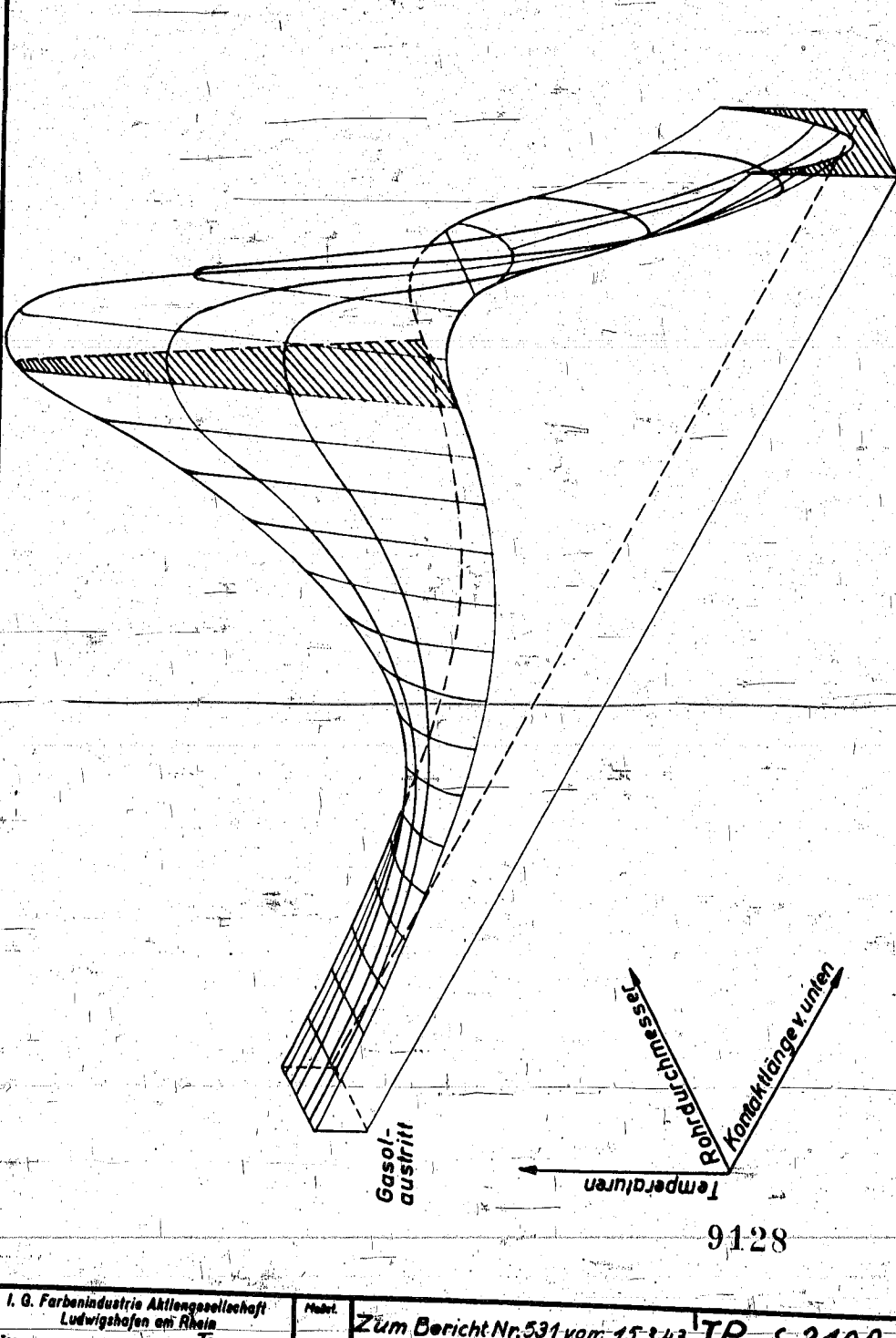
Ludwigshalen a. Rhein. DIN-Fromet A 4 P (210 x 297, mm); (L.

TPrS 2098



Temperaturfeld im Kontakt.

Polymerisation von Gasol, Versuch vom 11.8.42, 1955.

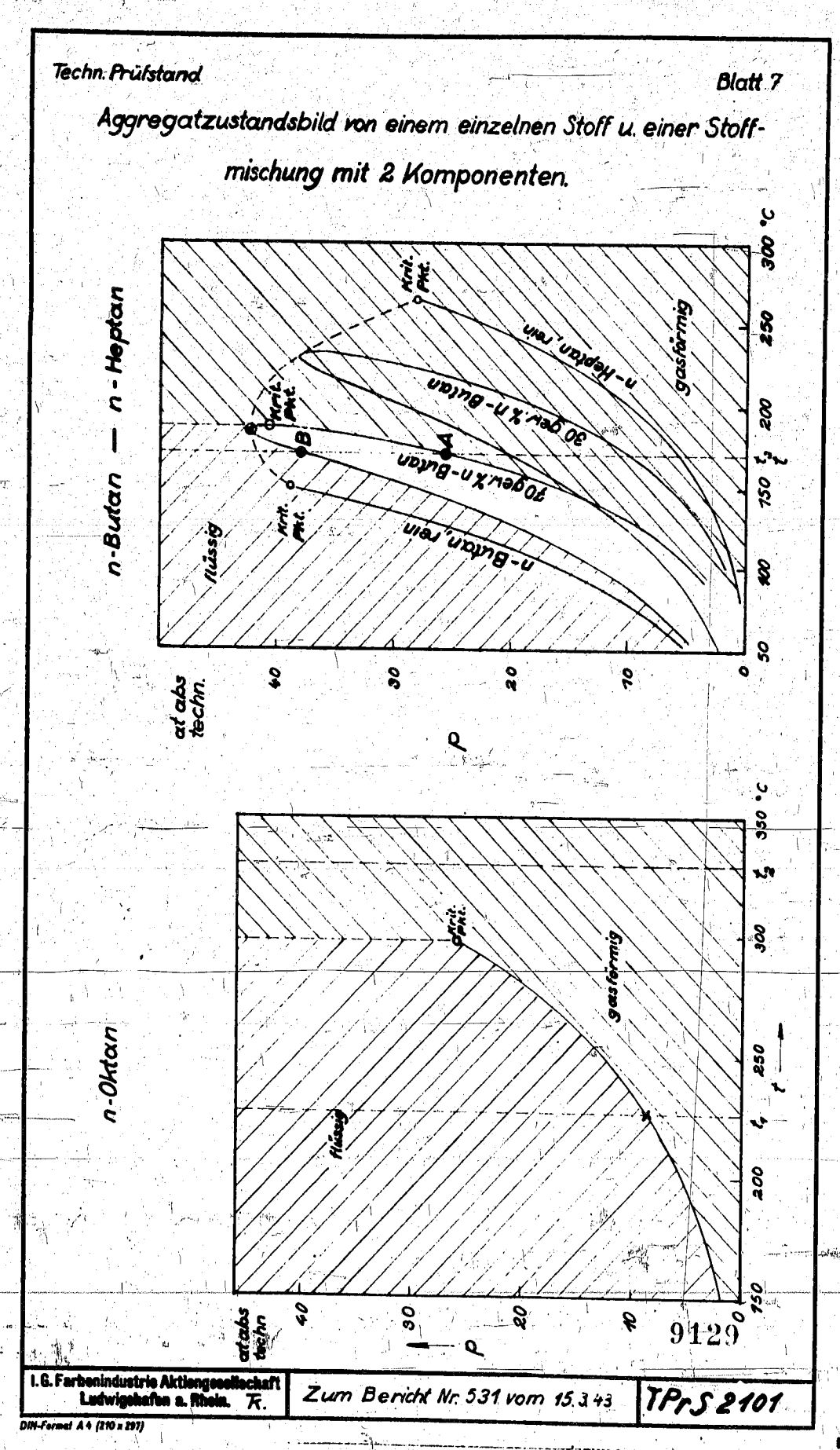


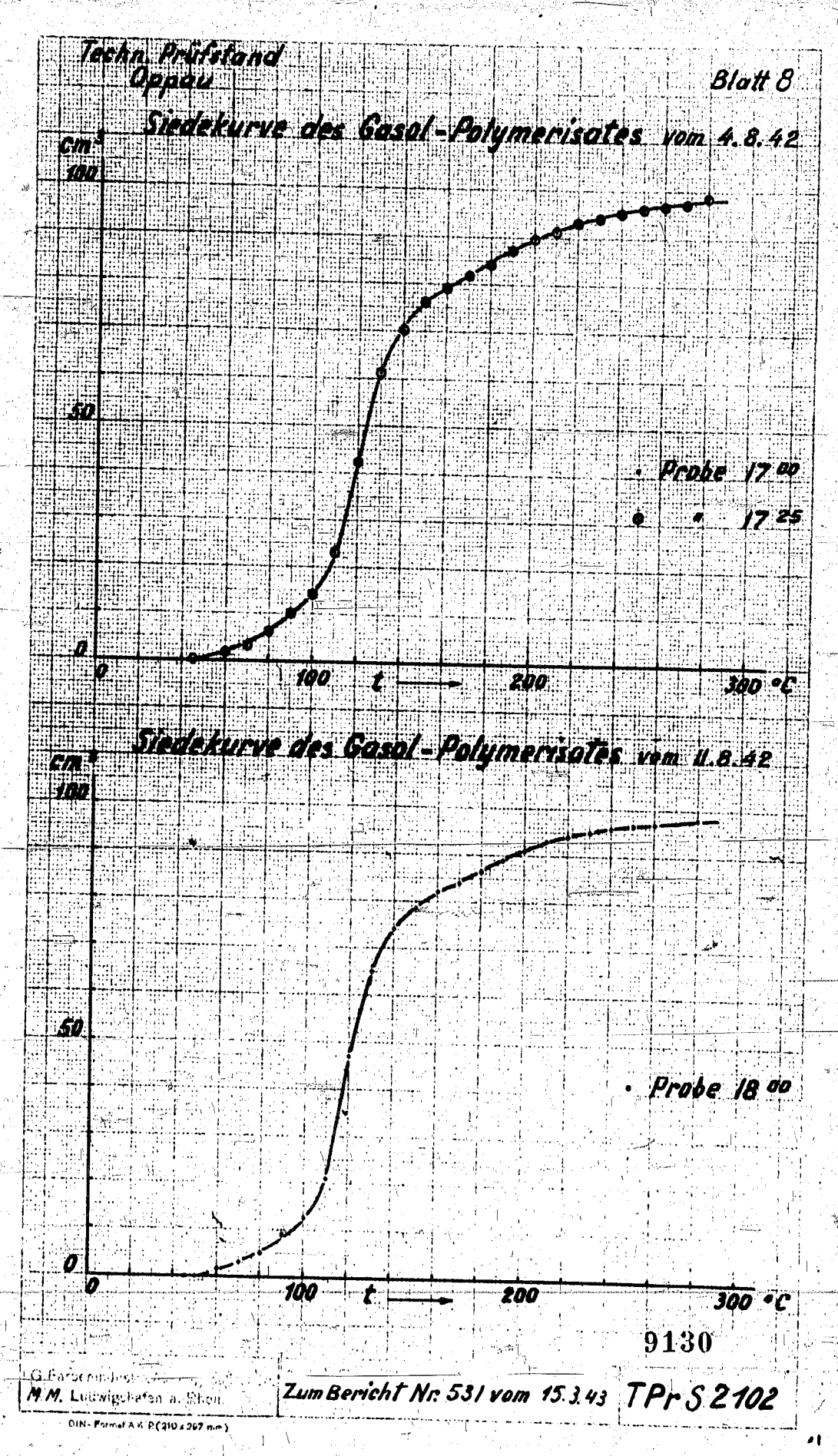
Ludwigshafen en Rhein

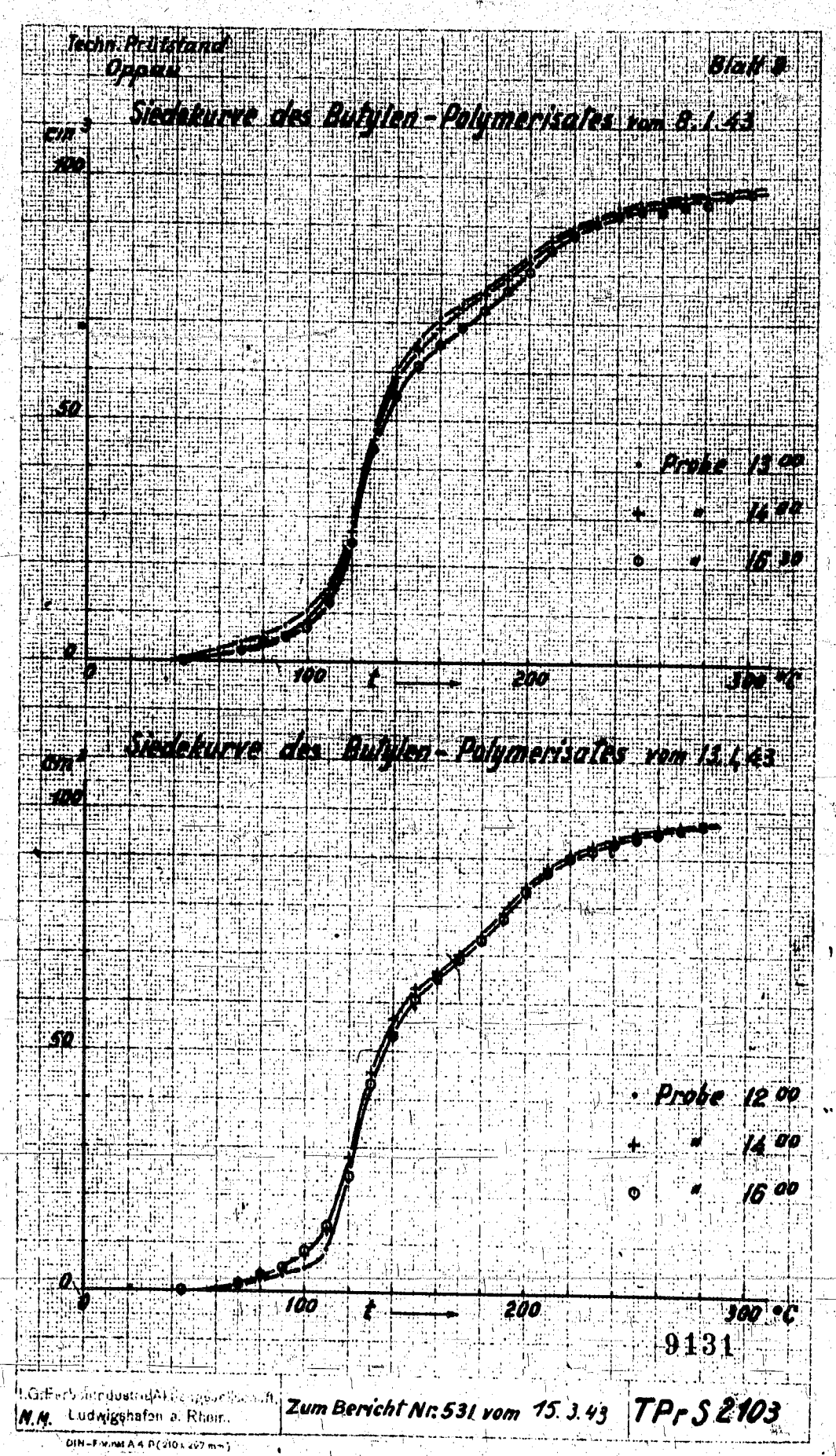
Tog Name R

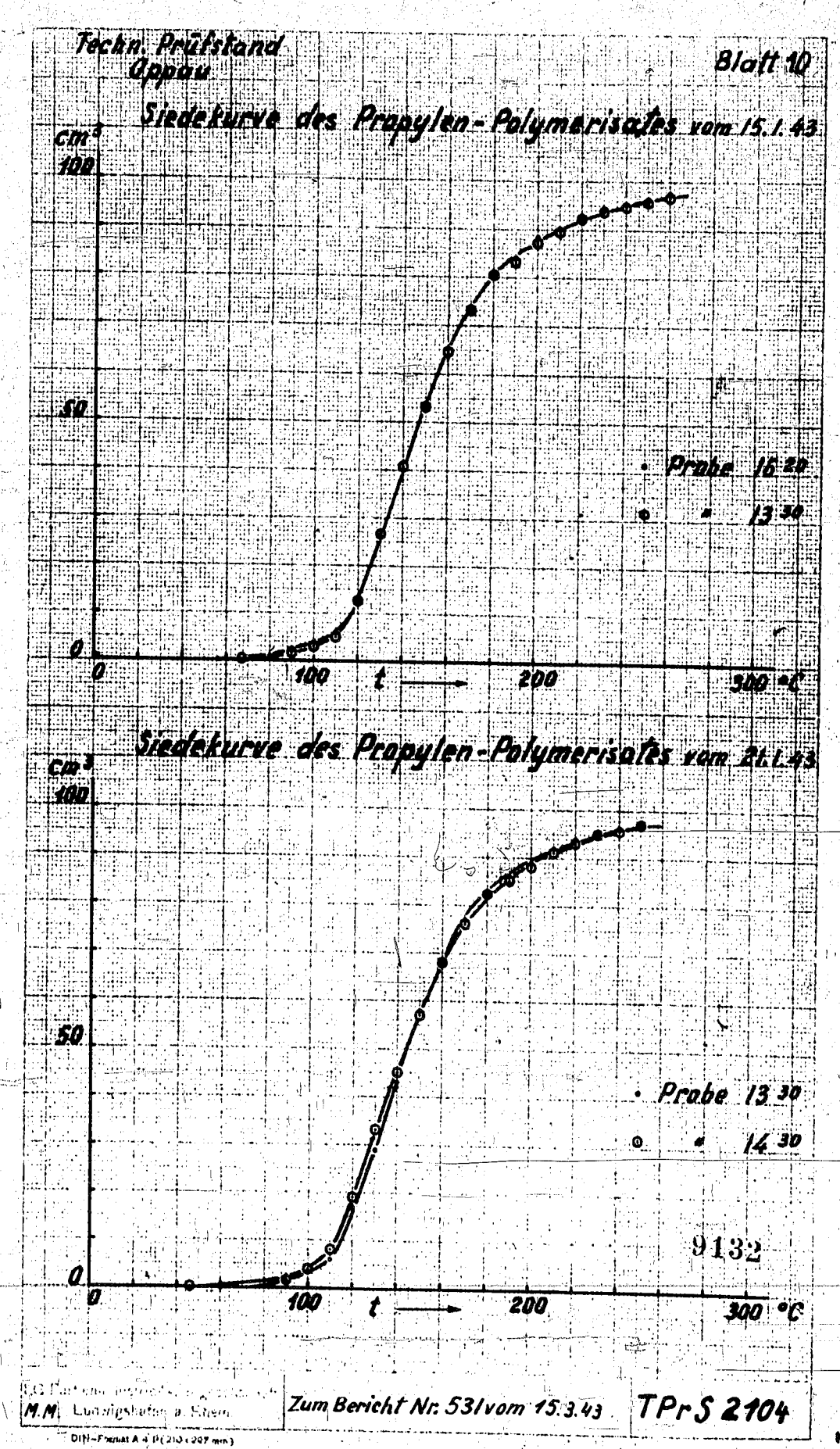
Urhaberrachtsochutz noch DW 34

TPr S 2100









			Midminimiza			9133		
	Fos	Bezeichnungen	Abkur zungar					် နှ [ု] ့ နှုန်းနှုန်းအမ
<u>†</u>	- 1	Stoff -		-		_	Jasol	
	2	Satur (_	77.	4	в.1942	11.3.	
	3	Zeit		Uhr	1700	1740	16 ²⁵	1752
	4 4	Druck		-atu	200	200	2ĈC	-200
-								1 1
	. 5	flassiggastenge	y fl	1/h	15,24	15,30	15,45	地,19
	,	Flishiggswichte	Y 51.	kg/l kg/h	C,58 8,84	8,87	5,96	0,55 0,51
	7	Flassig_sewicht (Einsatz)	gr1	m ³ /h	2,08	2,15	2,54	12.54
		Abgasaijante	- A	k ⇔a3	2,202	2,203	,163	2,16
-	26	augusgestent -	J.	κ <u>.</u> √h	4,502	Maria da la	5,00C	5,0€0
	11	"ongolymerisatzeńge,	V _P	1/ h	- 5,60	5,52	i, (a	1,71
	12	ong l/merimate conte bei t°C	Y _P	k_/1	0,760	c,7cc	0.764	
			G _P	kc/n	3,920	3,865	3,232	3,326
* \[\(\tag{\tau} \)	14.	Allorizeterabcas	G _{kε} .	kg/h -	-	-	-	-
•	15 .	Aulari wiergel, zemisat bei t°C	G _{KP} V	ke/h		-	le it	
	15	Durchsatz JA+GP+3 KC+3KP	3 -⊊	κ ₆ /h	3,502	3,565	3,352	
•	17	USemverluste (3 ₅₁ -3)/3 ₆₁		ge . ,6	2,8	5,4	-15.	
1				/	3,370	3,370	P. 9:10	2
	13 19	stabilisientes aempolymerisat stabilisientes nalormeterpolymerisat	Pst	k _e , h	,,,,,,	1.2.0		•
	20	C ₅ cent-A. 's is ubjud	GKPst\	kς, h	2,195	c,226	a v. 560	0,300
	21	25 u menr-Ki's im dalorimeterabgas	3keCc	K _i /h		- ,	\ \	_
	22	Tenram's in Flissions	3210g	kg/h	c,172	CTC52	.,	
	23	The special contract of a gent	305	κ _E , h –	3,39c	3,460	3,300	5327
	2.	and the second of the second), L	к _ы h	100,7 100,9	デッシ シル・1	- 净,2 1分,9	94,2 1 70,0 1
1	25 26	Luftaustrittstemperatur		_°c	211.3	212,0	210,0	210,5
, T	27	Luftmitteltemperatur	t _m	<u>°</u> c	200,6	201,2	202,5	202,7
1	28	spezifische #ärme	CP L	kcal kg°C	0.245	(0,245	0,245	C,245
1	29	Luftwärmemenge	J.	kcal/h	528,0	516,0	363,9	375.9
	30	Mantelverluste bei t	.av	kcal/h	324.0	324,0	304.0	30 2-, 0 2
- 1	31	Ofeneintrittstempedatur	t,	°c	205,0	204,8	198,5	193,5 1
	32	Ofenaustrittstemperatur	t ₂	°c	193,6 -	193.4	197,8	197,8
	33	spez.gärme am Ofeneintritt	4,	kcal kg C	-	_	_	
	-34	spez. Warme am Clenaustritt	Cp 2	kcal kg°C		-	-	-
	35	mittlere spez.Jarme	СР	kcal kg°C	0,5	0,8	0,8	C,8
	36	Erwarmung der K#ls im Ofen.	3 K #	kcal/b	-77.5	-78,0	-4,7	-4,7
	37	gesamte darmemenge 2 +2++2k	7	kcal/h	774.5	762,0 .	663,2	675,2 5
-	3:	Polymerisationswarme /GC	P	kcal, kg	228,3	226,2	200,8	203,0 2
				Vol-p				
1. 1	39	Clefine im Flüssiggas	°rı		43.0	- ·	39,0	59.2
	40	Olecine im Abgas	.o <u>.</u> ⊔	م −10	10,4	1.	8,0	9,6
	41	U.138 tz	U	-	94,0	_	86,4	36,5
	42	Setriebszeit vom Kontakt		std.	872*	9*	11 +-	1272+

	1 2	}			1 -					
9133										Tafel 1
		7 e : s	u che.		1	ν	1		e die	
	Jasol	<u> </u>		n-But	ylen		1	Propyle	n	
8.1942	11.3		1	1943	13.1	1943	15.1	.1943	21.1	.1943
1740	16 ²⁵	17 ⁵²	1200	1400	1400	1600	1430	16 ⁰⁰	1330	1400
200	2¢C	, , ,	2CC	5rc	200	200	200	200	200	200`
1		4 4 42	1, 49	14.40	13,42	,				
15,30	15,45 c,58	↓ 热,19 ° ▼ し,555	0,61	0,61	3,60	15,38	12,63	11,68 ₅	16,59	16,14
9,87	5,76	5,91	0,12	5,09	3,05	β,03	6,70	16,19	0,53 8,79	a,55
2.15	2,54	2.34	c, 34	5,96	1.28	1,65	1,63	1,62	2,29	2,16
2,203	1,163	2,16	2,368	2.370	2.35#	2,359	1,378	1,382	1,380	1,366
r-1,700	5,000	5,060	1,970	2,275	3,025	5,893	3,070	3,050	4,300	4,¢30
5.52	1.46	1,71	4,50	5,40	2,70	3,04	1,358	1,442	1,55	1,97
C,700	0,704	v. 16.	0,6635	9,6635 5,50	C,708	0.706	0,740 19°	0,737	0,735	0,731 19°
3,865	3,292	- 3.346	2,933	5,53C	1-911	2,145	1,004	1,063	1;14C	1,4:0
_	_		1,070	1,095 ,315	1,:16	C,902 ₅		1.,206.	1,275	1,229
3,565 .	3,352	1	0,746 130 17.3	7,763	775 1 20 20	7,569	C,475	6,489 5,302	C,513 ₅	0,4924 7,191
							1 3 3 3 3 3 3 3 3 3 3 3 3 3 3 3 3 3 3 3			7.11
3.4	75.			1,1	10.2	5,7	17.1	6,5	17,6	15.3
3,370	P. 9C	4. 1. 1.		2,541	1,570	1,806	0,985	1,038	1,110	1,390
-	 		100,500	0,511	0,499	0,5005	C,461	0,475	0,500	e,475
C.226	J 0,360	0.370	c, uc/	.,cos,	C.022	c,0293	1	ა,c60 ₅	0,0354	c,oso
- 1		-	V, (80 -	.,.20	J,046	c,c29 ₃		0,0167	6,018	C,017 ₁
3,460	3,30c		3,770	3, 5, 5, 9,	-	2.765	-0,0108		6,514,	0.023 3
5,460	7,,500	5327	2,417	2,312,	2.327 _a	2,365	1,51G	1,5262	-1,699 ₃	1,948
7.5	坤,2	95,2	102,5	102,4	75,2	75,5_	100,5	101,3	1.1.9	102,9
1,74,4	1).,)	.7.,1	17c;c	1.5,6	164,0	175.0	175,C	175,0	161,6	161.2
212,0	210,0	210,5	181,5	182,4	192,0	192,4	187.7	183,0	179,4	179,6
201,2	202,5 9,245,	202,7 0,245,	175.7	176,2 0,243 ₉	185,8 0,244,	186,2 0,244,	181,4 0,244,	181,5 0,244 ₃	170,5 0,243,	169,9 C,243
516,0	363,9	375.9	287,0	310.0	237,2	258,2	312,0	322,U	441,C	485.0
	3 1 3.55 245.4			14.2					18 1 1 1 1 1 1 1 1 1 1 1 1 1 1 1 1 1 1	
324,0	304.0	30 2-, c	212,3	212,3	259,0	259,0	223,0	223,0	205,0	205,0
204,8	198,5	193,5	165,05	168.3	179,45	173.3	176,6	176,75	170,5	171.25
193.4	197,8	197,8	184,3	185,25	197,1 ₅	197,2	190,05	190,1	172.75	171,25
	ring in		-		_		-	-	_ ' -	(1) A - (1)
_	•	-	-	-	-	-		-	اليقعى	-
_0,8 _73_0	0,8	0,8	C,8	C,8	0,8	0,8	0,8	0,8 63.0	0,8	0,8
-78,0	-4.7	'-4,7	99,1			11 4,5	59,9	62,0	13,0	
762,0	663,2	675,2	598,4	627,6	598,6	611,7	594,9	607,0	659,0	690,0
220,2	200,8	203,0	248,0	223,2	257,0	258,4	394,0	384,0	388,0	354.5
	39,0	59•2	35,C	35,0	33,6	33,6	28,2	29,0	29 , 0	29,0
	8,0	9,0	4,4	_ c _ u	4,6	3,6	2,8	2,6	4.4	4.4
-	86,4	36,5	91,1	90,0	90,5	92,4	92,6	93.3	88,6	88,6
9*	11 +-	1272+	1672	1842	28	3C	40 ' 72	42	48	48 72

		ff	Casol	Casol	Gasol	n-Butylen	n-Butylen	Propylen	Kalori- meter	A b _c u
	Dat Zei		4.3.42 16 ⁴⁵	4.8.42 17 ²⁰	11.8.42 18 ²⁰	€.1.43	13.1.43	15.1.43	15.1.43	13.1
	Kol- gewiont	Sezeich- nung							r vol-,	
	Mark Same									
	44,01	co ₂	○, 05	2,4	2,0	7		- ,	- I	-
	32,00	02	0,1	0,1	0,1	, - -	-			-
	28,01	co	*	_	•	_		Spuren	-	_
	28,016	, N 2	c,3	0,3	U,4		-	0,2	.	
	28,05	с ₂ н ₄	0,25	U , 2				Spuren	U,1	υ,
	42,08	с ₃ н ₆	5,15	5,9	5,1	0,2	0,9	24,4	C,1	O.
	56,10	С ₄ Н ₃	36,80	35.5	31,8	30,1	31,1	2,4	2,9	3,
	70,10	с ₅ н ₁₀	C,75	0,5	-	1,2		Spuren	٠,1	
	84	nönere		-	_	_	,		-	-
	16,04	21 <u>.</u>	1,00	0,2	-	•		Spuren	۰,1 _ب	₩ U,
	30,67	10 ₂ H ₆	. c,75	c,7	_	_	C , 2	6,1		υ,
1	44,09	เร _ิ ์แ็	0,65	9,9	19,0	- C.J.	2,1	67,1	,1	2,
	53,12	3.H	45,45	44,1	42,6	65,4	65,7	5,7		93,
1	72,14	- Շ, ≝ _{1.2}	C,75	C,4	- \	2,7	-	U , 1	2 . 5 %	c,
	86	nonege Jesüttigt			- : 4	- •	• • • • • • • • • • • • • • • • • • •	-	-	-

ylen	Kalori- meter	Ab _c us	Kalori- meter	ypkaz	Abgas	Abgas	Abgas	Kalori- meter	abgas
•43	15.1.43	13.1.43	15,1,45	15.1.43	4.8.42 16 ⁴⁵	4.8.42 17 ²⁰	11.8.42 18 ¹⁰	8.1.43	8.1.43
	r vol-,	r							
- /		<u>-</u>		=	3,78	4,99	3,0	r F	и у тупи у т
-	-	-	0,1	Spuren	0,10	0,10	0,1	0,1	*
ren		- 1	Spuren	-	0,04_	_	_	Spuren	0,1
,2	- -		0,4	0,3	0,30	0,30	0,3	0,5	0,3
ren	C, 1	0,1	Spuren	Spureh	0,26	0,23		0,1	0,2
1.4	c,1	0,1	1,8/	1,5	1,14	0,77	1,0	0,1	0,1
2,4	2,9	3,1	0,2	0,1	7,66	8,45	6,6	3, 2	2,9
ıren	. ,1	•	6,1	_	0,52	0,46	0,7	0,1	Spuren
	-	•	C, 1				-		-
iren	V,1	₩ ∪ , 1	0,1	Spuren	0,10,	• • • • • • • • • • • • • • • • • • •	-	0,1	0,3
, 1	•	U , 6	-Spuren	Spuren	1,76	1,23	-	1,4	1,9
7,1	,,1	2,4	90,7	89,2	18,53	18,60	51,9	4,4	5,1
7.	. 14 , 3	93,0	5,9	7,8	65,12	61,60	51,8	83 , 6	83,9
ا,1	2,5%	c,6	0,3	0,3	2,69	3,07	4,6	1,4	0,5
-	-	-	0,3	0,8	-	w ⁱ		-	-
	e transfer	<u>, , , , , , , , , , , , , , , , , , , </u>					<u>.</u>		
	مناسبها "	PEQ.		<u>. 3 d</u>	.4	1			<u></u>
	1 11/4	•		· · · · · · · · · · · · · · · · · · ·			ر. فرت سر		
	• 0.		4	$\left(\frac{1}{2}, \frac{1}{2}, \frac{1}{2}, \frac{1}{2} \right)$					
	\ \ \ \ \ \ \ \ \ \ \ \ \ \ \ \ \ \ \	4 2 2 2					1		
								1 1 1 1 1 1 1 1 1 1 1 1 1 1 1 1 1 1 1	
ela y	Same.			to 💉 :				gradient de la companya de la compan	
war in the last of the last	a the	ettarin siisin perentereni dell' Suellandoriado, sersa	file and the charge of the matter of the charge of the cha	etan tarant o entro de circular un estante o estante estante entre estante entre estante entre estante entre e	t teleforet en alle et en	New York (New York Control of the Co	ermon a crossis, com — arryana grad stands	daj morta majaraj kari kalendaj privada m	rijaka aran di seri dara ar iran nazar isa birah
1						i egyelênî li German			49
1	1	1 1 : 4 7				<u>-\frac{1}{2} - \frac{1}{2} - </u>	· · · · · · · · · · · · · · · · · · ·	<u> </u>	yF